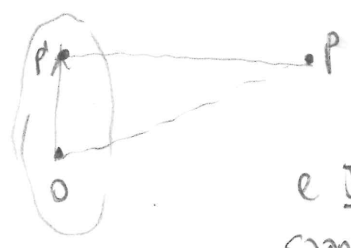


Irradiazione da apertura



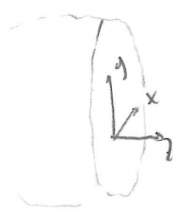
$$\underline{E} = -j \frac{Z_0}{2\lambda} \frac{\exp(-jkr)}{R} \int \underline{J}_s \cdot t \exp(jk \underline{r}' \cdot \hat{R}) dS$$

A ψ (condizione) M (momento)
 condizionale dell'uso generalizzato

e \underline{J}_s si "determina" con il th di equivalenza: le correnti sull'apertura sono eq. o comp/correnti sulla superficie.

Come volume di integrazione si usa un piano e la sfera all'infinito che racchiuda le sorgenti.

Il campo nella sfera all'infinito è nullo (?), dunque lo calcolo sulla superficie piano: spherica!



$\underline{r}' \cdot \hat{R}$ può essere complicato; x la superficie è piana e solo $\hat{x}\hat{x} + \hat{y}\hat{y}$ ($\hat{z} = 0$!)

$\hat{R} = \sin\theta \cos\phi \hat{x} + \sin\theta \sin\phi \hat{y} + \cos\theta \hat{z}$ (la normale)

$\hookrightarrow \underline{r}' \cdot \hat{R} = x \sin\theta \cos\phi + y \sin\theta \sin\phi$ definisco: $K_x = k \sin\theta \cos\phi$
 $K_y = k \sin\theta \sin\phi$

$\hookrightarrow k \underline{r}' \cdot \hat{R} = K_x x + K_y y \rightarrow$ trasp. di Fourier:

$\underline{M} = \underline{E}_e = \int \underline{J}_s \cdot t \exp(j(K_x x + K_y y)) dx dy = \mathcal{F}_2 \{ \underline{J}_s \}$

Scrivere il problema.

$\underline{J}_s = 2 \hat{z} \times \underline{H}_s$ (per il th di eq)

introduco:
 $g_x = \mathcal{F} \{ H_x \}$
 $g_y = \mathcal{F} \{ H_y \}$

$\underline{E} = E_\theta \hat{\theta} + E_\phi \hat{\phi}$

dove $\begin{cases} E_\theta = 2A \psi \cos\theta (g_x \sin\phi - g_y \cos\phi) \\ E_\phi = 2A (g_x \cos\phi + g_y \sin\phi) \end{cases}$
 Compenati secondo ϕ e θ !
Dimostrare!

Usando le correnti magnetiche \underline{M} , dunque a partire da \underline{E}_s :

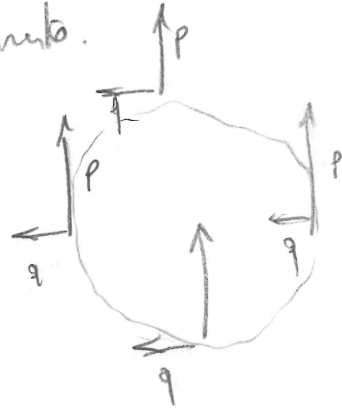
$\underline{r}_{xy} = \mathcal{F} \{ \underline{E}_{xy} |s \}$ trasp. di Fourier del campo superficiale equivalente.

$\begin{cases} E_\theta = \frac{j}{\lambda} \frac{\exp(-jkr)}{R} (P_x \cos\phi - P_y \sin\phi) \\ E_\phi = \frac{j}{\lambda} \frac{\exp(-jkr)}{R} \cos\theta (P_y \cos\phi - P_x \sin\phi) \end{cases}$

Non si usano le componenti radiali \hat{r} e $\hat{\theta}$ se non per un'ultima
 $\hat{\theta}$ è radiale, \hat{r} è tangente
 Non c'è una pl. di riferimento.
 Non c'è la pl. lineare: \hat{r} e $\hat{\theta}$ var dove vogliono.
 Non si possa prendere \hat{r} e $\hat{\theta}$ come vettori di pl. di riferimento.



Si usa:
 $\hat{r} = \cos\theta \hat{e}_1 + \sin\theta \hat{v}$ sempre rivolto verticalmente!
 $\hat{\theta} = \sin\theta \hat{e}_1 - \cos\theta \hat{v}$



Andiamo a cercare le componenti radiali \hat{r} e $\hat{\theta}$!

$\theta = 0$ $\theta = \pi/2$
 $E_p = f_y \cos\theta$ f_y questo, per i piani principali
 $E_q = -f_x$ $-f_x \cos\theta$ (le esp. definite sono compenet.)

È sui piani diagonali? $E_p = \frac{1}{2} [f_y(1 + \cos\theta) - f_x(1 - \cos\theta)]$ --- 45°

Semplificazioni

Per un cilindro, si può tener conto: data pl. lineare,

$E = \frac{1}{\lambda} \frac{e^{i(j\omega t)}}{R} (f_1 \cos\theta \hat{e}_1 + f_2 \sin\theta \hat{v})$ f_1 e f_2 son componenti delle tral. di f_x e f_y .

Se le dist. di corpo son simmetriche, in buona appross. f_1 o f_2 son indipendenti da θ .
 Solo in θ !

Guadagno di un'apertura

$D \approx G = \frac{4\pi}{\int_0^{2\pi} \int_0^\pi |g(\theta, \phi)|^2 \sin\theta d\theta d\phi}$ totale + sempl. : $G(\theta) \approx D(\theta) = \frac{4\pi}{\lambda^2} \frac{|E_s(\theta)|^2}{\int_A |E|^2 dA}$



$G(\theta, \phi) = \frac{dP}{d\Omega} \frac{1}{P} \frac{1}{4\pi}$ dato l'integrale allora va sp. finito.
 $\frac{dP}{d\Omega} = R^2 \frac{dP}{dS} = R^2 \frac{|E(P)|^2}{Z_0} = \frac{E(P)}{6 \cdot 3!}$ $E(P)$ è l'int. di modazione.

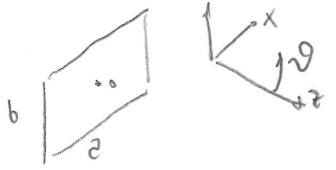
la dir. di max irradiazione è l'asse: allora solo sull'asse!
 $\iint E(x,y) \exp(j(k_x x + k_y y)) dx dy$ sull'asse, $\forall \phi$, il prodotto sotto va a 0! $\rightarrow \int_A E^2 dA$

$$\frac{dP}{d\Omega} = R^2 \left| \frac{1}{R} \int_A E_0 dA \right|^2 \frac{1}{2\omega} ; \quad \frac{4\pi dP/d\Omega}{P_{in}}$$

L₀D = ---

Inv. di apertura 2

Rettilangolo:

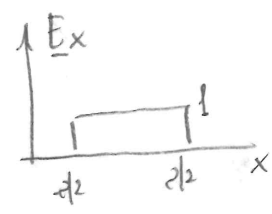


l'integrale, dopo equazione etc, si fa solo sull'apertura:

$$\int_{-a/2}^{a/2} \int_{-b/2}^{b/2} E_{x,y} \exp(j(k_x x + k_y y)) dy dx \equiv f \quad [f = S_2()]$$

ipotesi: separabilità delle variabili!

U. univari:



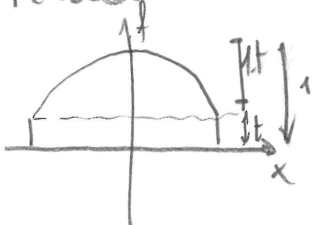
$$\int \sin(kx) \rightarrow \frac{\sin(ua/2)}{u/2} \quad u = k \sin \theta \quad \text{piano } \left(\frac{H}{\lambda} \right) \quad u \sin \theta \cos \theta, \quad \phi = \theta!$$

Nota: $v_{3dB} \approx v_0$; questo è un angolo generale
sen simile

Teoria: "stringo l'illuminato"; "allargo" il lobo principale. riduco G perché ho +
energia nel fascio (la prendo dai lobi!)

$$t = -10 \log_{10} \left(\frac{E(\theta)}{E(0)} \right) \quad \begin{matrix} \text{comp in lobi} \\ \text{comp in } \phi \end{matrix}$$

Parabola su pedicello:



$$f(x) = |x-t| |1-x^2| + t$$

Errori di fase:

$$E(x) = E_0(x) \exp(-j\phi(x)) \quad \phi(x) \text{ è l'errore di fase sull'apertura!}$$

lineare: $\theta_{max} = \sin^{-1} \left(\frac{d\lambda}{\pi a} \right)$ (un po' di distorsione: testamento non lineare da $\frac{d\lambda}{\pi}$ all'angolo!

→ distorsione in ascisse: allargamento dei lobi secondari, ma tutti sempre uguali

Integrale da apertura - parte 3

$$\iint F(x,y) \exp[j(k_x x + k_y y)] dx dy$$

passo in c. cilindriche:

$$p dp d\theta' = dx dy \quad \begin{cases} k_x = k \sin \theta \cos \theta' \\ k_y = k \sin \theta \sin \theta' \end{cases} \quad \begin{cases} x = \rho \cos \theta' \\ y = \rho \sin \theta' \end{cases}$$

$$\hookrightarrow k_x x + k_y y = k \sin \theta (\cos \theta' \cos \theta + \sin \theta' \sin \theta) = k \sin \theta \cos(\theta - \theta')$$

$\hookrightarrow \exp[j(k \rho \sin \theta \cos(\theta - \theta'))]$ trasform. di Fourier su un cerchio in coord. polari.

$$\rho^2 \rightarrow r = \frac{\rho}{a} \quad u = k a \sin \theta$$

$$\hookrightarrow \int_0^{2\pi} \int_0^1 F(r, \theta') \exp[j u r \cos(\theta - \theta')] r dr d\theta' = f(u, \theta)$$
 questo non è v. separabile.

Se si ha simmetria in θ ,

$$f(u) = 2\pi a^2 \int_0^1 F(r) J_0(ur) r dr$$

\hookrightarrow risultato dell'integrazione in θ'

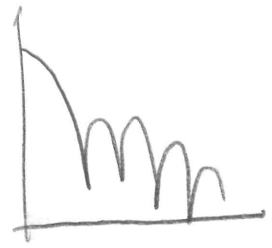
Min. 10 Mercoledì

Trasformata di Fourier - Bessel

$$\text{se } F(r) = 1, \quad \hookrightarrow \quad f(u) = 2\pi a^2 \frac{J_1(u)}{u}$$

se $u=0, J_1=0$ e in realtà la sing. è eliminabile.

questa è $\frac{J_1}{u}$: dice diminibile!

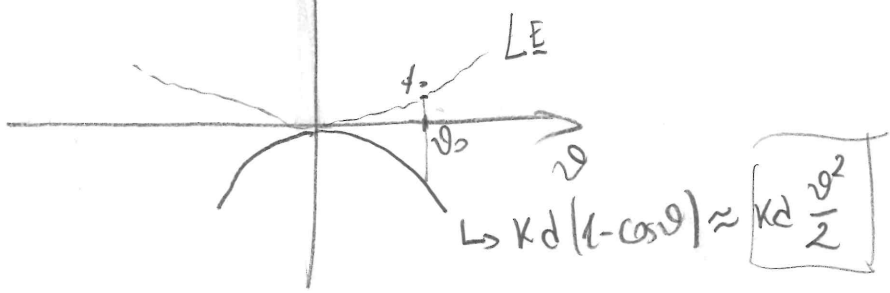


la funzione "da tapering", di illuminazione, è:

$$F(r) = (1-r^2)^p \quad \text{"parabola elevata potenza"}$$

$$\hookrightarrow f(u) = \pi a^2 2^{p+1} p! \frac{J_{p+1}(u)}{u^{p+1}} \quad \text{"p" valore di tapering = -1}$$

Posizione del centro di fase ϕ (err. d fase)



per un certo θ si può chiedere di compensare l'errore di fase LE. Dato θ_0 questo angolo ho ϕ_0 : $\rightsquigarrow \frac{kd}{2} \theta_0^2 = \phi_0 \rightarrow \boxed{d = \frac{2}{k} \frac{\phi_0}{\theta_0^2}} \Rightarrow \boxed{\frac{d}{\lambda} = \frac{\phi_0}{\theta_0^2}}$

Antenne a freccia I

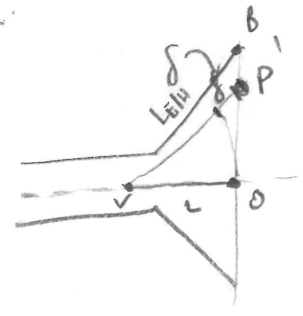
Ipotesi: avere come comp sulla bocca il TE₁₀

$\underline{E} = E_0 \cos\left(\frac{\pi}{a}x\right) \hat{y} \exp(j\phi(x,y))$

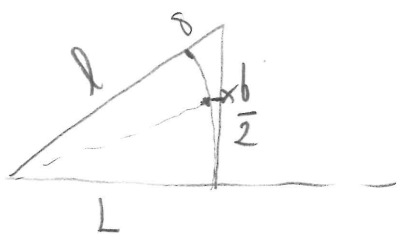
Sulla guida troncata ipotizzare solo TE₁₀ è errato: c'è una riflessione, molti modi spuri!

Suppongo angoli di semiapertura piccoli - err. di fase quadratico.

$\hookrightarrow \delta$ è l'err. di fase massimo
 $\phi(x,y) = \phi$ $\delta = \frac{y^2}{2L_e} \approx \frac{x^2}{2L_h}$ $L_e \neq L_h$
 VO P': $\phi(y) \approx \frac{\pi y^2}{\lambda L_e}$ $\phi_{max} = \frac{\pi b^2}{4\lambda L_e}$



Dimostrazione:



$L^2 + x^2 = [L + \delta(x)]^2$
 $\hookrightarrow L^2 + x^2 = L^2 + \delta^2 + 2L\delta \Rightarrow \boxed{\delta = \frac{x^2}{2L}}$
 per $x = \frac{b}{2}$, $\delta = \frac{b^2}{8L} = \phi_{max}$ $\lambda/8$ / $\lambda/16$ è $\approx \phi$!

quadrato:

se $\phi \approx 0 \rightarrow \gamma \approx \frac{8}{\pi^2}$, $G_0 \approx 10.98 - 6.6 \frac{2\theta}{\lambda^2}$

se $\phi \neq 0$, $G = G_0 - L_e - L_h$ L_e, L_h perdite dovute agli err. di fase.

$L_e \approx 16 \left(\frac{\delta_e}{\lambda}\right)^2$; $L_h \approx 72 \left(\frac{\delta_h}{\lambda}\right)^2$
 $\frac{\delta}{\lambda} L_e$ $\frac{\delta}{\lambda} L_h$

tutto in dB.

Tronche oltre: $\frac{a}{b} \approx \frac{4}{3}$

$$\begin{aligned} \rightarrow z &= \sqrt{3\lambda l h} \\ b &= \sqrt{2\lambda l c} \end{aligned}$$

si può vedere che ci sono da un errore di fase di $\frac{3}{8}\lambda$ (a) e $\frac{1}{6}\lambda$ (b).